

ANALISA AERODINAMIS DISTRIBUSI TEKANAN *OPEN CIRCUIT* LOW SUBSONIC WIND TUNNEL TERHADAP PENGARUH VARIASI PELETAKAN SCREEN MESH

Aji Abdillah Kharisma¹⁾, Ade Sutanto²⁾

Program Studi Teknik Mesin, Fakultas Teknologi Industri, Universitas Gunadarma
Jl. Margonda Raya No. 100 Pondok Cina, Depok 16424, Telp (021) 78881112 ext 403
email : ajabdillah@staff.gunadarma.ac.id¹⁾

ABSTRAK

Analisa terhadap bidang ilmu aerodinamika (aerodynamic) pada kendaraan di era sekarang ini dapat dikatakan tiada batas. Salah satu alat uji ilmu aerodinamika (aerodynamic) adalah Wind Tunnel. Tujuan penelitian ini adalah untuk mengetahui dan membandingkan hasil analisa, serta memvisualisasikan distribusi tekanan di sepanjang lintasan wind tunnel. Pada analisa wind tunnel ini menggunakan material acrylic, kecepatan freestream sebesar 4.7 m/s dengan variasi peletakan 4 screen yaitu variasi HC, HC + 1 SM, HC + 2 SM, dan HC + 3 SM. Dalam hasil perhitungan teoritis analisa tekanan maksimal yang didapat dari peletakan screen HC adalah 101848.1976 Pa, HC + 1 SM = 101848.1976 Pa, screen HC + 2 SM adalah 101838.3859 Pa, dan screen HC + 3 SM sebesar 101838.3859 Pa, sedangkan hasil perhitungan analisis software dari pelatakan screen HC sebesar 101725.8765 Pa, Peletakkan screen HC + 1 SM adalah 101710.8337 Pa, Peletakkan screen HC + 2 SM sebesar 101710.8337 Pa, dan Peletakkan screen HC + 3 SM adalah 101828.1146 Pa. Hasil perbandingan persentase galatnya untuk pelatakan screen HC adalah 0.12 %, peletakan screen HC + 1 SM adalah 0.13 %, peletakan screen HC + 2 SM adalah 0.12 %, dan peletakan screen HC + 3 SM adalah 0.01 %. Berdasarkan hasil perhitungan secara teoritis, visualisasi dan software yaitu bagian distribusi tekanan yang paling stabil pada wind tunnel terletak pada variasi peletakan HC + 1 SM.

Kata kunci : Distribusi Tekanan, Visualisasi, Wind Tunnel, Screen Mesh

ABSTRACT

Analysis of the field of aerodynamics (aerodynamics) in vehicles in the current era can be said to be limitless. One of the aerodynamic (aerodynamic) test tools is the Wind Tunnel. The purpose of this study is to determine and compare the analysis results, as well as visualize the pressure distribution along the wind tunnel trajectory. In this wind tunnel analysis using acrylic material, the freestream speed is 4.7 m / s with 4 screen variations, namely variations of HC, HC + 1 SM, HC + 2 SM, HC + 3 SM. In the theoretical calculation results, the maximum pressure analysis obtained from the placement of the HC screen is 101848.1976 Pa, HC + 1 SM = 101848.1976 Pa, the HC + 2 SM screen is 101838.3859 Pa, and the HC + 3 SM screen is 101838.3859 Pa, while the calculation results of the software analysis are the HC screen is 101725.8765 Pa, the HC + 1 SM is 101710.8337 Pa, the HC + 2 SM is 101710.8337 Pa, and the HC + 3 SM is 101828.1146 Pa. The result of the comparison of the percentage of error for the position of the HC is 0.12%, the HC + 1 SM 0.13%, the HC + 2 SM screen laying was 0.12%, and the HC + 3 SM is 0.01%. Based on the results of theoretical calculations, visualization and software, the most stable part of the pressure distribution in the wind tunnel lies in the variation of HC + 1 SM placement.

Keywords: Pressure Distribution, Visualization, Wind Tunnel, Screen Mesh

I. PENDAHULUAN

Perkembangan ilmu aerodinamika di era globalisasi dan modernisasi sekarang ini kemajuan teknologi berkembang sangat canggih dan semakin kompleks, khususnya

di bidang Teknik atau Engineering. ilmu aerodinamika merupakan salah satu cabang dari dasar ilmu mekanika fluida yang mempelajari gaya-gaya, efek gaya yang bekerja pada fluida baik saat diam maupun bergerak.

Wind Tunnel

Terowongan angin (*wind tunnel*) adalah peralatan yang dipergunakan untuk menghasilkan aliran udara pada kecepatan tertentu. *Wind tunnel* (terowongan angin) adalah peralatan berbentuk tabung atau lorong yang digunakan dalam penelitian aerodinamis untuk mempelajari fenomena yang terjadi pada udara bergerak dengan kecepatan tertentu yang melewati suatu benda padat.

Komponen Utama Terowongan Angin

Komponen utama terowongan angin antara lain *settling chamber*, *screen*, *honeycombs*, seksi uji, bagian kontraksi, *difuser*, *fan*, *corner/turning vanes*, dan *base*.

Definisi Tekanan Statis, Tekanan Stagnasi dan Tekanan Dinamik

Tekanan statis atau pada hukum Bernoulli adalah tekanan fluida yang diukur berdasarkan alat yang bergerak bersambungan dengan fluida. Keadaan kondisi ini sulit diwujudkan. Tetapi dengan kondisi nyata bahwa tidak ada variasi tekanan dalam arah suatu penampang dalam keadaan lurus dalam sebuah aliran, oleh karena itu tekanan statis diukur berdasarkan dari membuat suatu lubang kecil pada dinding aliran, sehingga sumbunya akan tegak lurus dinding aliran. Pengukuran tekanan statis atau tekanan statik dilakukan oleh lubang kecil di bagian bawah dinding tabung.

Tekanan Stagnan adalah sebuah tekanan fluida yang diukur pada aliran fluida yang diperlambat hingga dalam keadaan diam, $V = 0$ dengan kondisi aliran tidak dengan sebuah gesekan.

Persamaan Bernoulli

Agar Dalam aliran udara yang bergerak streamline, dimana udara ini bersifat aliran udara yang tetap (*steady flow*), tidak dapat ditekan (*incompressibility*) dan tidak bersifat kental (*nonviscous*) oleh Bernoulli didapatkan satu teori yang ruengatakan, bahwa :

Energi Potensial + Energi Kinetis + Energi Tekan = Konstan.

Dalam hal ini

$$\text{Energi Kinetis} = \frac{1}{2} \cdot m \cdot V^2 \dots \dots \dots \quad (2)$$

Sehingga kita dapatkan :

$$m \cdot g \cdot h + \frac{1}{2} \cdot m \cdot V^2 + P = \text{konstan} \dots \dots \dots \quad (4)$$

Karena dalam gerakan udara tidak ada perbedaan ketinggian atau $h = 0$, maka teori Bernoulli menjadi :

Energi Kinetis + Energi Tekan = Konstan
atau $\frac{1}{2}mV^2 + P = \text{konstan}$

Apabila aliran udara ini menumbuk suatu papan, maka energi kinetis berubah menjadi energi tekan.

Apabila energi kinetis massa udara mKg bergerak dengan kecepatan V m/detik adalah sebesar $\frac{1}{2} \cdot m \cdot V^2$ Joules, sehingga energi kinetis udara 1 m^3 adalah $\frac{1}{2} \cdot \rho \cdot V^2$ Joules, maka di dapatkan persamaan Bernoulli menjadi:

$$P_1 + \frac{1}{2} \cdot \rho \cdot V_1^2 = P_2 + \frac{1}{2} \cdot \rho \cdot V_2^2 = \text{konstan} .. \quad (6)$$

Apabila aliran udara menumbuk suatu papan, maka energi kinetis berubah akan hilang dan seluruhnya menjadi energi tekan. Bila luas permukaan papan ini sebesar $S \text{ m}^2$, maka jumlah gaya yang timbul pada papan adalah $\frac{1}{2} \rho S V_2^2$ Newton.

Persamaan Perhitungan Distribusi Tekanan

Untuk menentukan distribusi tekanan pada terowongan angin menggunakan persamaan persamaan berikut :

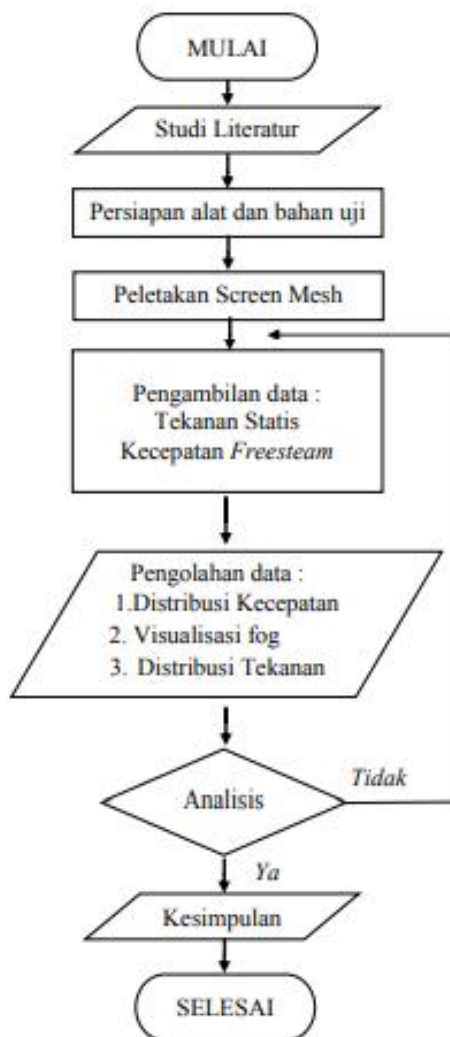
2. Metode Penelitian

Analisa pengaruh variasi screen terhadap visualisasi distribusi tekanan di sepanjang lintasan wind tunnel ini

meliputi eksperimen visualisasi menggunakan *fog*, simulasi menggunakan software *solidwork* 2012.

Visualisasi menggunakan *fog* diperlukan untuk mengetahui bentuk kondisi dari distribusi tekanan pada terowongan angin.

Penelitian ini ditekankan pada analisa pengaruh variasi screen terhadap visualisasi distribusi tekanan open circuit low speed subsonic wind tunnel apabila kecepatan aliran freestream dibuat 4.7 m/s. Adapun alur proses didalam penelitian ini adalah sebagai berikut yang diperlihatkan pada gambar 1.



Gambar 1. Diagram Alir Penelitian

Deskripsi *Wind Tunnel* (Terowongan Angin)

Jenis terowongan angin yang digunakan adalah *open circuit low speed subsonic wind tunnel*. Adapun spesifikasi dari terowongan angin terdiri dari :

Tabel 1 Spesifikasi Terowongan Angin

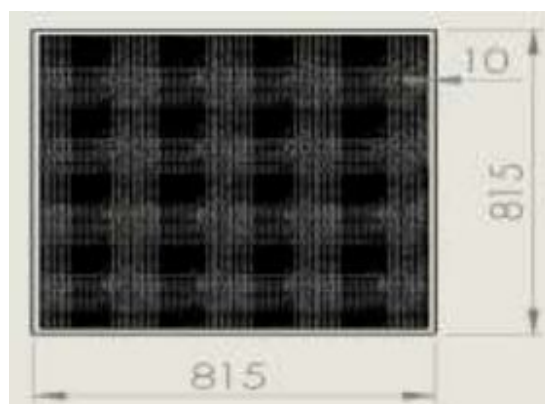
Tegangan	220 volt – 380 volt
Phase	3 phase
Daya Listrik	3 KW
Test Section	350 x 350 x 350 mm
Kecepatan maksimum	16 m/s



Gambar 2. Wind tunnel

Deskripsi Ukuran Screen Mesh Spesifikasi ukuran screen mesh

Screen mesh yang digunakan berbahan jaring nyamuk dan berbentuk persegi dengan ukuran (815 mm x 815 mm).



Gambar 3. Ukuran Screen Mesh

Tabel 2 Spesifikasi screen mes

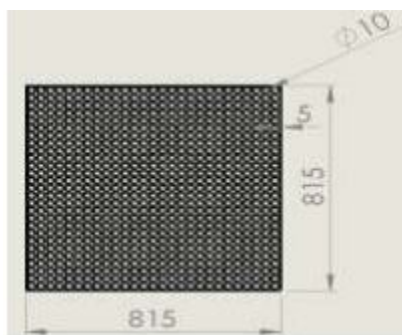
No	Nama Screen	Dia, Kawat (d)	Jarak Antar Kawat (l)	P	L
1	Bingkai	-	-	10 mm	10 mm
2	Screen Mesh	1.5 mm	2 mm	815 mm	815 mm



Gambar 4. Screen Mesh

Spesifikasi ukuran Honeycomb

Honeycomb yang digunakan berbahan sedotan dan berbentuk persegi dengan ukuran (815 mm x 815 mm) dan keliling honeycomb diberi cover atau rumah (5 mm x 5 mm).



Gambar 5. Honeycomb

Tabel 3 Spesifikasi honeycomb

No	Nama Screen	Diameter sedotan (d)	Panjang sedotan (l)	Panjang	Lebar
1	Cover	-	-	5 mm	5 mm
2	Screen Mesh	10 mm	60 mm	815 mm	815 mm



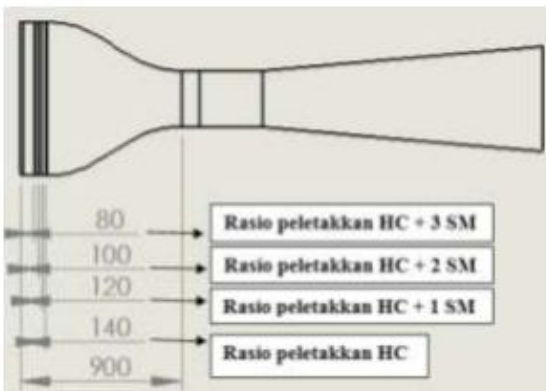
Gambar 6. Honeycomb

Peletakkan Screen Mesh

Screen mesh di letakkan di bagian setling chamber. Kemudian memvariasiakan jumlah screen yang terpasang sebanyak 1 hingga 3 buah. Kemudian diletakkan pada X/L. X/L adalah titik lokasi keberangkatan separasi, dimana X merupakan jarak Honeycomb dari ujung settling chamber sedangkan L merupakan jarak ujung bagian kontraksi hingga Honeycomb holder paling belakang.

Tabel 4 Variasi Pelatakan Screen Mesh

No	Jenis HC	X/L
1	<i>Honeycomb</i>	HC = 0.15
2	<i>Honeycomb + 1 SM</i>	HC = 0.15, SM(1) = 0.13
3	<i>Honeycomb + 2 SM</i>	HC = 0.15, SM(1) = 0.13, SM(2) = 0.11
4	<i>Honeycomb + 3 SM</i>	HC = 0.15, SM(1) = 0.13, SM(2) = 0.11, SM(3) = 0.08



Gambar 7. Perencanaan Peletakan Screen Mesh

Deskripsi Peralatan Pendukung Manometer

Manometer berfungsi untuk mengetahui tekanan statis pada terowongan angin dimana untuk mengetahui perbedaan tinggi pada kesetimbangan fluida pengisi manometer menggunakan kertas millimeter blok. Adapun manometer yang digunakan terdiri dari :

Tabel 5 Spesifikasi manometer

Fluida pengisi	H_2O
Density	999.97 kg/m ³
Range pengukuran	0 – 300 mm



Gambar 8. Manometer

Kabut (Fog)

Untuk dapat melihat visualisasi dari aliran yang mengalir di dalam *wind tunnel*, maka dibutuhkan mesin fog, mesin *fog* yang

digunakan bertipe F-900 dengan daya 900W.

Kabut dibuat dengan *Ultrasonic Piezoelectric Nebulizer*. Kabut disalurkan kedalam *wind tunnel* (biasanya pada *wind tunnel* tipe tertutup).



Gambar 9. Pengujian menggunakan fog atau kabut

Anemometer

Anemometer berfungsi untuk mengukur kecepatan aliran udara di sepanjang lintasan terowongan angin.



Gambar 10. Anemometer

Prosedur Pengambilan Data Pengujian

Pada analisa pengaruh variasi screen terhadap distribusi tekanan open circuit low speed subsonic wind tunnel. Tahapan dalam melakukan eksperimen dan pengambilan data sebagai berikut :

1. Menyiapkan peralatan dan bahan uji.
2. Mencari nilai x/l untuk menentukan peletakan jarak *screen mesh* dan *honeycomb*.
3. Sambungkan 11 selang manometer pada 11 lubang venturi terowongan angin. Posisikan selang berbentuk U tegak lurus agar cairan pengukuran (air) setimbang pada posisi (0)

- menggunakan *millimeter blok*. Untuk pengambilan data distribusi tekanan statis udara sepanjang lintasan terowongan angin.
4. Pasangkan *honeycomb* di bagian settling chamber pada terowongan angin dengan peletakan jarak $x/l = HC = 0.91$.
 5. Nyalakan terowongan angin dan pastikan kecepatan *free steam* dibuat 4.7 m/s .
 6. Catat hasil pengukuran menggunakan manometer U untuk mendapatkan nilai tekanan statis.
 7. Memvisualisasi fenomena distribusi tekanan pada variasi peletakan *honeycomb* di sepanjang lintasan terowongan angin dengan menggunakan mesin *fog*.
 8. Pasangkan *honeycomb* + 1 SM di bagian *settling chamber* pada terowongan angin dengan peletakan jarak $x/l = HC = 0.91$, $SM(1) = 0.88$.
 9. Ulangi langkah 2, 3, 5 untuk mencatat hasil pengukuran menggunakan manometer U untuk mendapatkan nilai tekanan statis.
 10. Memvisualisasi fenomena distribusi tekanan pada variasi peletakan *honeycomb* + 1 SM di sepanjang lintasan terowongan angin dengan menggunakan mesin *fog*.
 11. Pasangkan *honeycomb* + 2 SM di bagian *settling chamber* pada terowongan angin dengan peletakan jarak $x/l = HC = 0.91$, $SM(1) = 0.88$, $SM(2) = 0.86$.
 12. Ulangi langkah 2, 3, 5 untuk mencatat hasil pengukuran menggunakan manometer U untuk mendapatkan nilai tekanan statis.
 13. Memvisualisasi fenomena distribusi tekanan pada variasi peletakan *honeycomb* + 2 SM di sepanjang lintasan terowongan angin dengan menggunakan mesin *fog*.
 14. Pasangkan *honeycomb* + 3 SM di bagian *settling chamber* pada terowongan angin dengan peletakan jarak $x/l = HC = 0.91$, $SM(1) = 0.88$, $SM(2) = 0.86$, $SM(3) = 0.84$.
 15. Ulangi langkah 2, 3, 5 untuk mencatat hasil pengukuran menggunakan manometer U untuk mendapatkan nilai tekanan statis.
 16. Memvisualisasi fenomena distribusi tekanan pada variasi peletakan *honeycomb* + 3 SM di sepanjang lintasan terowongan angin dengan menggunakan mesin *fog*.
 17. Matikan motor penggerak terowongan angin.
 18. Rapihkan peralatan dan bahan uji.

Variabel Data Pengujian

1. Kecepatan *free steam* dari hasil pengukuran anemometer adalah 4.7 m/s .
2. Manometer yang digunakan adalah manometer berbentuk huruf "U" dengan fluida pengisi air, tekanan atmosfer dibuat $1 \text{ atm} = 101325 \text{ N/m}^2$
3. Densitas udara dibuat 1.176 kg/m^3
4. Densitas air dibuat 999.97 kg/m^3
5. Percepatan gravitasi 9.812 m/s^2
6. Temperatur udara di sekitar di usahakan pada kondisi tetap.

3. HASIL DAN PEMBAHASAN

Hasil Pengukuran Tekanan

Data yang di ambil adalah hasil data dari eksperimen sebagai berikut :

DATAPENELITIAN :

Tekanan atmosfer (Patm) = 101325 N/m^2
Kecepatan freesteam (V) = 4.7 m/s
Densitas udara (ρ_{udara}) = 1.176 kg/m^3
Densitas air (ρ_{air}) = 999.97 kg/m^3
Percepatan gravitasi (g) = 9.812 m/s^2
Suhu Ruang Sekitar(malam hari) = 27°C

Berikut hasil data pengukuran pada terowongan angin dengan variasi kecepatan udara sebagai data untuk pengambilan distribusi tekanan di tunjukkan pada tabel 6.

Tabel 6 Hasil Pengukuran Tekanan pada Manometer

No	Bagian (Δh = beda tinggi tekanan statis)	Ketinggian (mm)			
		HC	HC + 1 SM	HC + 2 SM	HC + 3 SM
1	Δh_1	52	52	51	51
2	Δh_2	38	38	37	36
3	Δh_3	36	37	36	34
4	Δh_4	36	37	36	34
5	Δh_5	37	37	37	37
6	Δh_6	38	38	38	37
7	Δh_7	36	36	38	36
8	Δh_8	38	39	38	38
9	Δh_9	40	41	41	41
10	Δh_{10}	45	45	44	46
11	Δh_{11}	44	46	48	45

Hasil Perhitungan Teoritis Distrbusi Tekanan untuk Variasi Peletakan Screen Mesh

Variasi Peletakkan HC

Tabel 7 Hasil Variasi Peletakkan HC

No	Bagian	Tekanan (Pa)		
		Statis	Dinamis	Total
1	Kontraksi	101835.2087	12.9889	101848.1976
2	Kontraksi	101697.8448	12.9889	101710.8337
3	Seksi uji	101678.2214	12.9889	101691.2103
4	Seksi uji	101678.2214	12.9889	101691.2103
5	Seksi uji	101688.0331	12.9889	101701.022
6	Seksi uji	101697.8448	12.9889	101710.8337
7	Difusser	101678.2214	12.9889	101691.2103
8	Difusser	101707.6565	12.9889	101720.6454
9	Difusser	101727.2799	12.9889	101740.2688
10	Difusser	101766.5268	12.9889	101779.5157
11	Difusser	101776.3385	12.9889	101789.3274
Tekanan rata-rata		101722.8201	12.9889	101735.809

Variasi Peletakkan HC + 1 SM

Tabel 8 Hasil Peletakkan HC + 1 SM

No	Bagian	Tekanan (Pa)		
		Statis	Dinamis	Total
1	Kontraksi	101835.2087	12.9889	101848.1976
2	Kontraksi	101697.8448	12.9889	101710.8337
3	Seksi uji	101688.0331	12.9889	101701.022
4	Seksi uji	101688.0331	12.9889	101701.022
5	Seksi uji	101688.0331	12.9889	101701.022
6	Seksi uji	101697.8448	12.9889	101710.8337
7	Difusser	101678.2214	12.9889	101691.2103
8	Difusser	101707.6565	12.9889	101720.6454
9	Difusser	101727.2799	12.9889	101740.2688
10	Difusser	101766.5268	12.9889	101779.5157
11	Difusser	101776.3385	12.9889	101789.3274
Tekanan rata-rata		101722.8201	12.9889	101735.809

Variasi Peletakkan HC + 2 SM

Tabel 9 Hasil Peletakkan HC + 2 SM

No	Bagian	Tekanan (Pa)		
		Statis	Dinamis	Total
1	Kontraksi	101825.397	12.9889	101838.3859
2	Kontraksi	101688.0331	12.9889	101701.022
3	Seksi uji	101678.2214	12.9889	101691.2103
4	Seksi uji	101678.2214	12.9889	101691.2103
5	Seksi uji	101688.0331	12.9889	101701.022
6	Seksi uji	101697.8448	12.9889	101710.8337
7	Difusser	101697.8448	12.9889	101710.8337
8	Difusser	101697.8448	12.9889	101710.8337
9	Difusser	101727.2799	12.9889	101740.2688
10	Difusser	101756.715	12.9889	101769.7039
11	Difusser	101795.9619	12.9889	101808.9508
Tekanan rata-rata		101721.0361	12.9889	101734.025

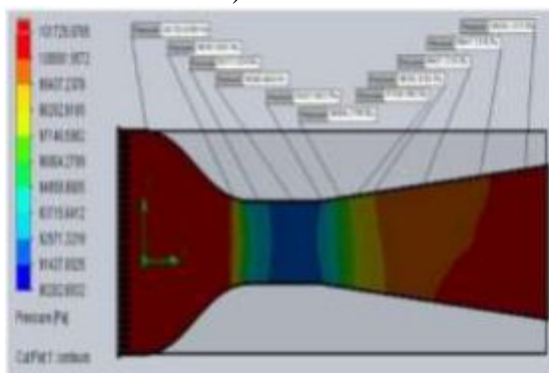
Variasi Peletakkan HC + 3 SM

Tabel 10 Hasil Peletakkan HC + 3 SM

No	Bagian	Tekanan (Pa)		
		Statis	Dinamis	Total
1	Kontraksi	101825.397	12.9889	101838.3859
2	Kontraksi	101678.2214	12.9889	101691.2103
3	Seksi uji	101658.598	12.9889	101671.5869
4	Seksi uji	101658.598	12.9889	101671.5869
5	Seksi uji	101688.0331	12.9889	101701.022
6	Seksi uji	101688.0331	12.9889	101701.022
7	Difusser	101678.2214	12.9889	101691.2103
8	Difusser	101697.8448	12.9889	101710.8337
9	Difusser	101727.2799	12.9889	101740.2688
10	Difusser	101776.3385	12.9889	101789.3274
11	Difusser	101766.5268	12.9889	101779.5157
Tekanan rata-rata		101713.0084	12.9889	101725.9973

Hasil Analisis Distribusi Tekanan melalui simulasi pada Software Solidwork Variasi Peletakkan HC

Hasil simulasi yang telah dilakukan pada variasi peletakkan *honeycomb* di sepanjang lintasan terowongan angin dapat dilihat bahwa pada bagian settling chamber terdapat tekanan yang paling besar yang ditandai dengan warna merah (100581.5572 - 101725.8765 Pa).

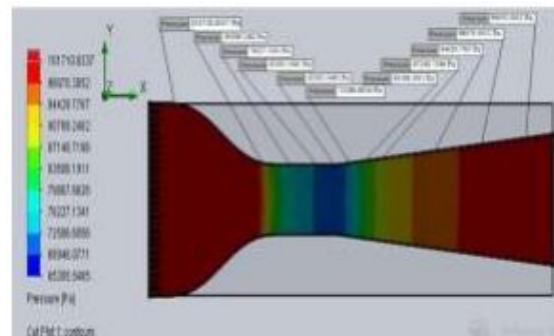


Gambar 11. Hasil Simulasi Distribusi Tekanan Peletakkan HC

Variasi Peletakkan HC + 1 SM

Dari hasil simulasi yang telah dilakukan pada variasi peletakkan *honeycomb* + 1 SM di sepanjang lintasan terowongan angin

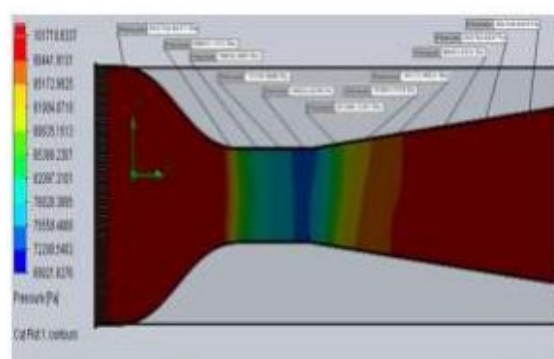
dapat dilihat bahwa pada bagian settling chamber terdapat tekanan yang paling besar yang ditandai dengan warna merah (98070.3052 - 101710.8337 Pa).



Gambar 12. Hasil Simulasi Distribusi Tekanan HC + 1 SM

Variasi Peletakkan HC + 2 SM

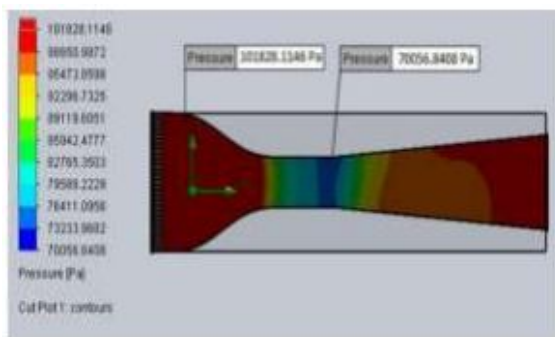
Dari hasil simulasi yang telah dilakukan pada variasi peletakkan *honeycomb* di sepanjang lintasan terowongan angin dapat dilihat bahwa pada bagian settling chamber terdapat tekanan yang paling besar yang ditandai dengan warna merah (98441.9131 - 101710.8337 Pa).



Gambar 13. Hasil Simulasi Distribusi Tekanan Peletakkan HC + 2 SM

Variasi Peletakkan HC + 3 SM

Dari hasil simulasi yang telah dilakukan pada variasi peletakkan *honeycomb* di sepanjang lintasan terowongan angin dapat dilihat bahwa pada bagian settling chamber terdapat tekanan yang paling besar yang ditandai dengan warna merah (98527.7734 - 101828.1146 Pa).



Gambar 14. Hasil Simulasi Distribusi Tekanan Peletakan HC + 3 SM

Hasil Persentase Galat Distribusi Tekanan Hasil Perhitungan Teoritis dan Hasil Simulasi Solidwork

Variasi peletakan HC

Hasil distribusi tekanan maksimal teori adalah sebesar 101848.1976 Pa sedangkan hasil distribusi tekanan maksimal simulasi adalah sebesar 101725.8765 Pa.

$$\eta = \frac{\text{Distribusi Tekanan Teori} - \text{Distribusi Tekanan Simulasi}}{\text{Distribusi Tekanan Teori}} \times 100\%$$

$$= \frac{(101848.1976 \text{ Pa} - 101725.8765 \text{ Pa})}{(101848.1976 \text{ Pa})} \times 100\%$$

$$= 0.12 \text{ \%}.$$

Variasi peletakan HC + 1 SM

Hasil distribusi tekanan maksimal teori adalah sebesar 101848.1976 Pa sedangkan hasil distribusi tekanan maksimal simulasi adalah sebesar 101710.8337 Pa.

$$\eta = \frac{\text{Distribusi Tekanan Teori} - \text{Distribusi Tekanan Simulasi}}{\text{Distribusi Tekanan Teori}} \times 100\%$$

$$= \frac{(101848.1976 \text{ Pa} - 101710.8337 \text{ Pa})}{(101848.1976 \text{ Pa})} \times 100\%$$

$$= 0.13 \text{ \%}.$$

Variasi peletakan HC + 2 SM

Hasil distribusi tekanan maksimal teori adalah sebesar 101838.3859 Pa sedangkan hasil distribusi tekanan maksimal simulasi adalah sebesar 101710.8337 Pa.

$$\eta = \frac{\text{Distribusi Tekanan Teori} - \text{Distribusi Tekanan Simulasi}}{\text{Distribusi Tekanan Teori}} \times 100\%$$

$$= \frac{(101838.3859 \text{ Pa} - 101710.8337 \text{ Pa})}{(101838.3859 \text{ Pa})} \times 100\%$$

$$= 0.12 \text{ \%}.$$

Variasi peletakan HC + 3 SM

Hasil distribusi tekanan maksimal teori adalah sebesar 101838.3859 Pa sedangkan

hasil distribusi tekanan maksimal simulasi adalah sebesar 101828.1146 Pa.

$$\eta = \frac{\text{Distribusi Tekanan Teori} - \text{Distribusi Tekanan Simulasi}}{\text{Distribusi Tekanan Teori}} \times 100\%$$

$$= \frac{(101838.3859 \text{ Pa} - 101828.1146 \text{ Pa})}{(101838.3859 \text{ Pa})} \times 100\%$$

$$= 0.01 \text{ \%}.$$

4. Kesimpulan

Berdasarkan hasil perhitungan teoritis dan analisis simulasi terhadap distribusi tekanan pada variasi peletakan screen mesh yang dilakukan pada alat uji wind tunnel atau terowongan angin diperoleh kesimpulan sebagai berikut :

1. Hasil perhitungan teoritis dan hasil simulasi pengaruh variasi screen terhadap distribusi tekanan maksimal pada peletakan $x/l = HC = 0.91$ sebesar (teori = 101848.1976 Pa, simulasi = 101725.8765 Pa), $x/l = HC = 0.91$, SM(1) = 0.88 sebesar (teori = 101848.1976 Pa, simulasi = 101710.8337 Pa), $x/l = HC = 0.91$, SM(1) = 0.88, SM(2) = 0.86 sebesar (teori = 101838.3859 Pa, simulasi = 101710.8337 Pa), $x/l = HC = 0.91$, SM(1) = 0.88, SM(2) = 0.86, SM(3) = 0.84 sebesar (teori = 101838.3859 Pa, simulasi = 101828.1146 Pa).
2. Persentase galat dari hasil perhitungan teoritis dan hasil simulasi pengaruh variasi screen terhadap distribusi tekanan pada peletakan HC sebesar 0.12 %, HC + 1 SM adalah 0.13 %, HC + 2 SM sebesar 0.12 %, HC + 3 SM sebesar 0.01 %.

DAFTAR PUSTAKA

1. Amalia, Ema, Lia Yuanawati., 2017 “*Pengujian Model Mobil Pick Up Komersial di Terowongan Angin*” MESIN : 40-53, Vol. 26. No. 1. Bandung : ITB.
2. Handayani, Sri Utami., 2014 “*Pengembangan dan Analisa Keseragaman Aliran Terowongan Angin Tipe Terbuka Sebagai Sarana Pengujian*

- Aerodinamika” ISBN 978-979-3514-46-8. Semarang : Politeknik Negeri Semarang*
3. Kusumohadi, C.S, N.G. Yoga, H. Arrozi. 2015. “*Perancangan Awal Terowongan Angin Kecepatan Rendah Untuk Pengujian Otomotif*”. Science And Engineering National Seminar 1. UNJ
 4. Lindgren, B., dan Johansson, A.V., 2002, *Design and Evaluation of a Low Speed Wind-Tunnel with Expanding Corner Technical*. Sweden : Royal Institute of Technology Department of Mechanics.
 5. Mehta RD, Bradshaw P. 1979, *Design Rules for Small Low Speed Wind Tunnels*. *Aeronautical Journal*.;443-449.
 6. Mulyadi, Muhamad. 2010. “*Analisis Aerodinamika Pada Sayap Pesawat Terbang Dengan Menggunakan Software Berbasis Computational Fluid Dynamics (CFD)*”. Depok : Universitas Gunadarma.
 7. Perry, A. E., dan Chong, M. S.,2000. *Flow Visualization : Techniques and Examples: Interpretation of Flow Visualization*. London : Imperial College Press.
 8. Singh, M., Singh, N., dan Yadav, S.K., 2013, *Review of Design and Construction of an Open Circuit Low Speed Wind Tunnel*, *Global Journal of Research in Engineering Mechanical and Mechanics Engineering Volume 13 Issue 5 version 1. page 1-21*.
 9. Sugiarto, Tris. 2008. “*Analisa Karakteristik Airfoil Naca 4412 Dengan Metode Wind Tunnel*”. ISSN 1978-2497. Intuisi Teknologi dan Seni.
 10. Surya, Patria Bagas dan A. Grummy Wailanduw. 2014. “*Pengaruh Variasi Screen terhadap Intensitas Turbulensi Wind Tunnel Tipe Open Circuit Subsonic*”. JTM : 29-37. Vol. 03. No. 02. UNESA.
 11. Tobak, M. and Peake, D. J., *Topology of ThreeDimensional Separated Flows*, *Ann. Rev. Fluid. Mech.*, vol. 14, 1982, pp. 61-85.
 12. White, F., 1991. *Viscous Fluid Flow*. 2nd edition, McGraw-Hill.
 13. Wibisono, Yusuf, Gunawan Nugroho dan Ridho Hantoro. 2013. “*Studi Karakteristik Aliran Tiga Dimensi Dan Perpindahan Panas Pada Cascade Airfoil Dengan Pengaruh Clearance*”. ISSN: 2337-3539. Vol. 2, No. 1. ITS.
 14. Wijaya, Adi. 2012. “*Distribusi Tekanan Statis dan Kecepatan di dalam Nozzel dan Test Section Pada Wind Tunnel*”. Depok : Skripsi Universitas Gunadarma.